

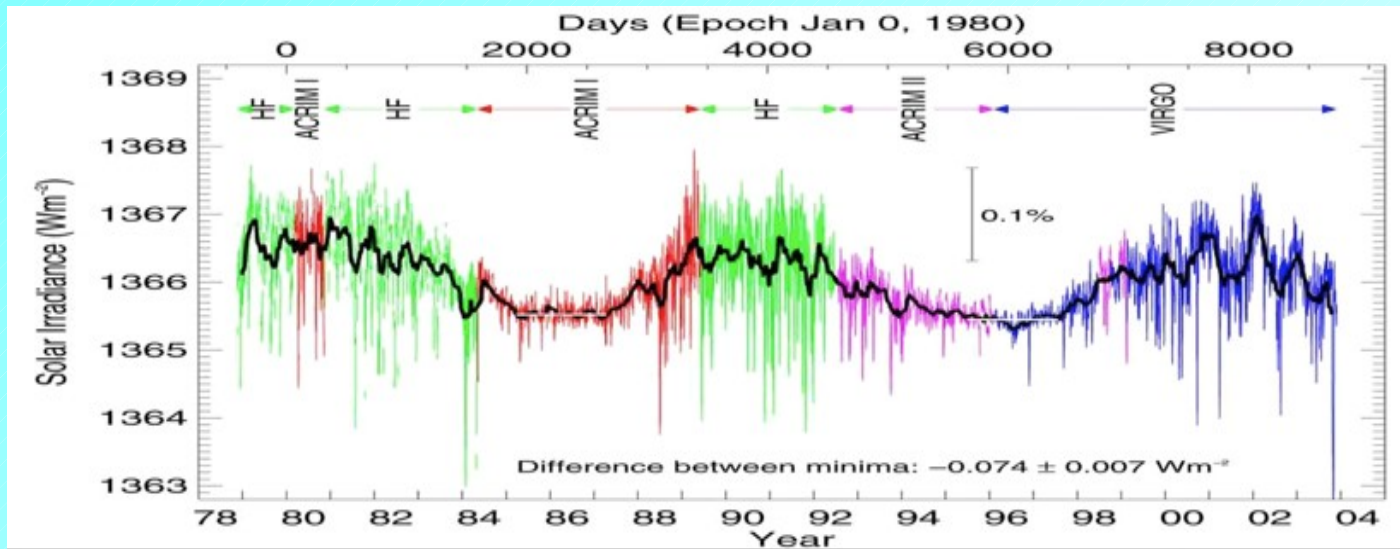
Réponse de la moyenne atmosphère au cycle solaire à 11 ans à l'aide du modèle Chimie-Climat LMDz-Reprobus

**M. Marchand,
S. Bekki, P. Keckhut, A. Hauchecorne, C. Claud,
F. Lefèvre, D. Cugnet, M.-P. Lefebvre, V. Poulain, S.
Lefebvre, F. Lott, F. Hourdin, S. Bossay**

LATMOS/IPSL, CNRS

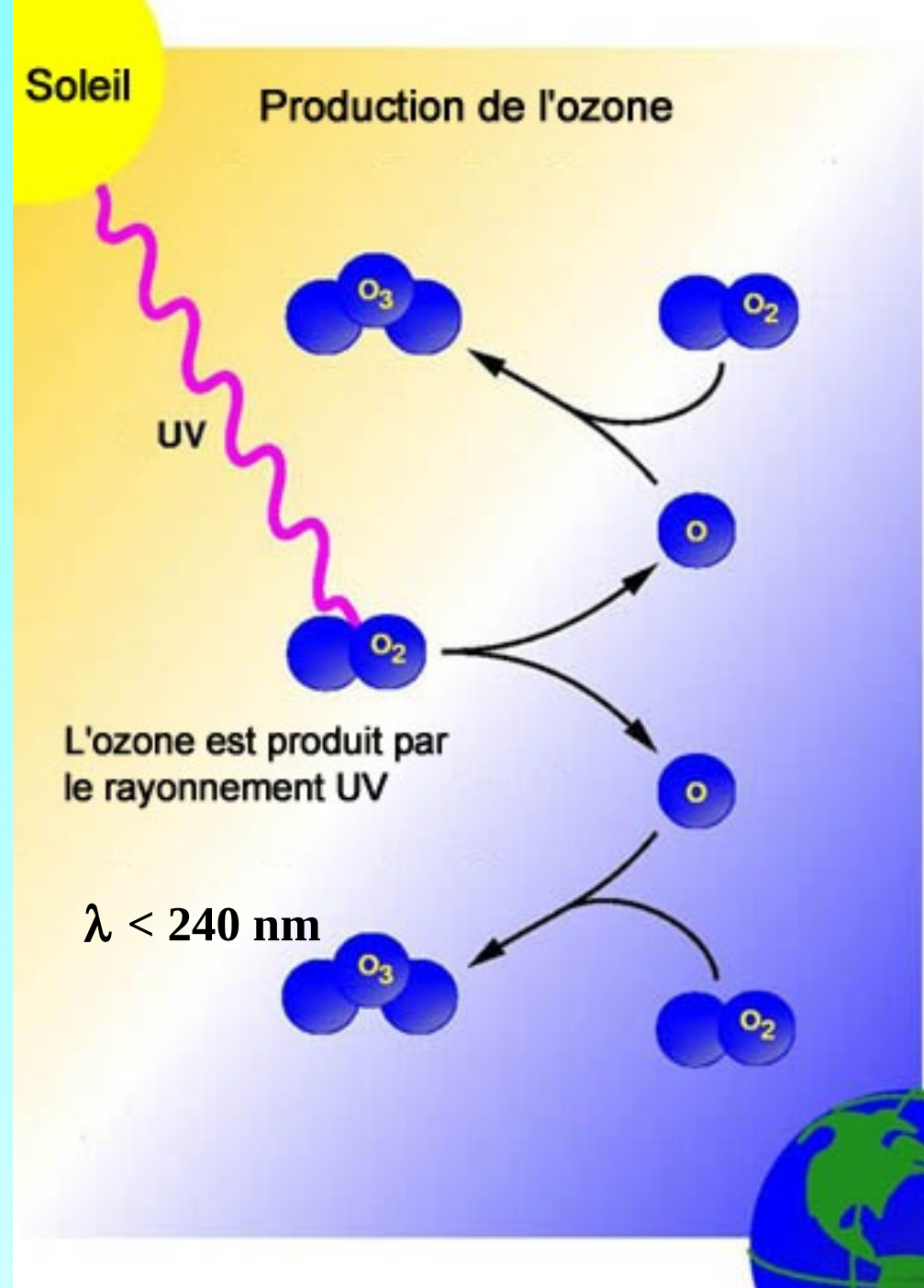
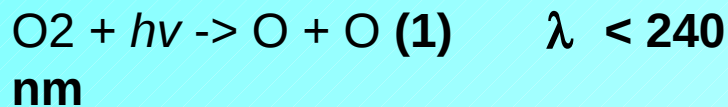
LMD/IPSL, CNRS

Evolution de l'irradiance total (TSI)

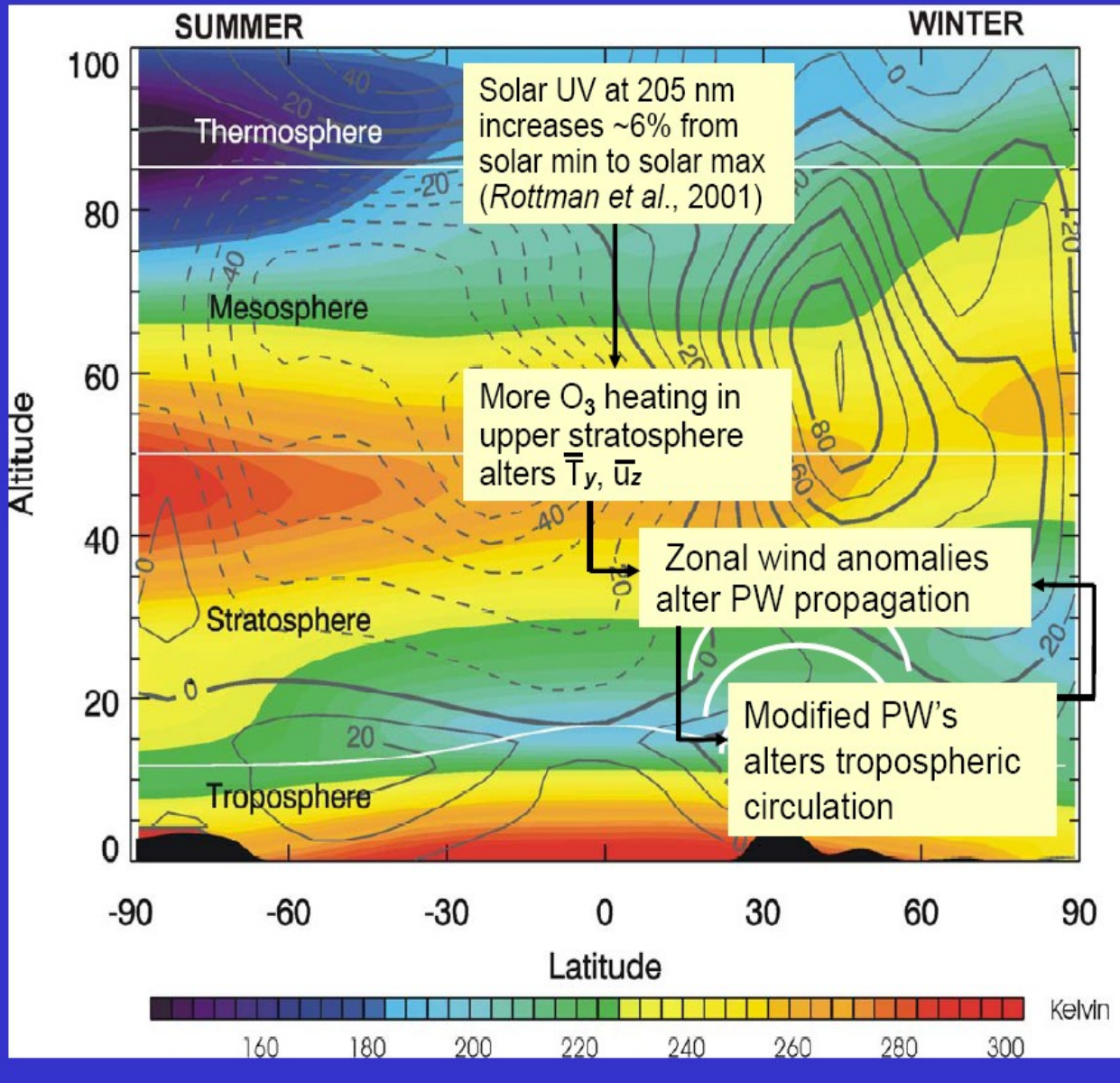


Production of stratospheric ozone modulated by solar UV

At $z > 30$ km



Solar-Climate Connection: A Working Theory

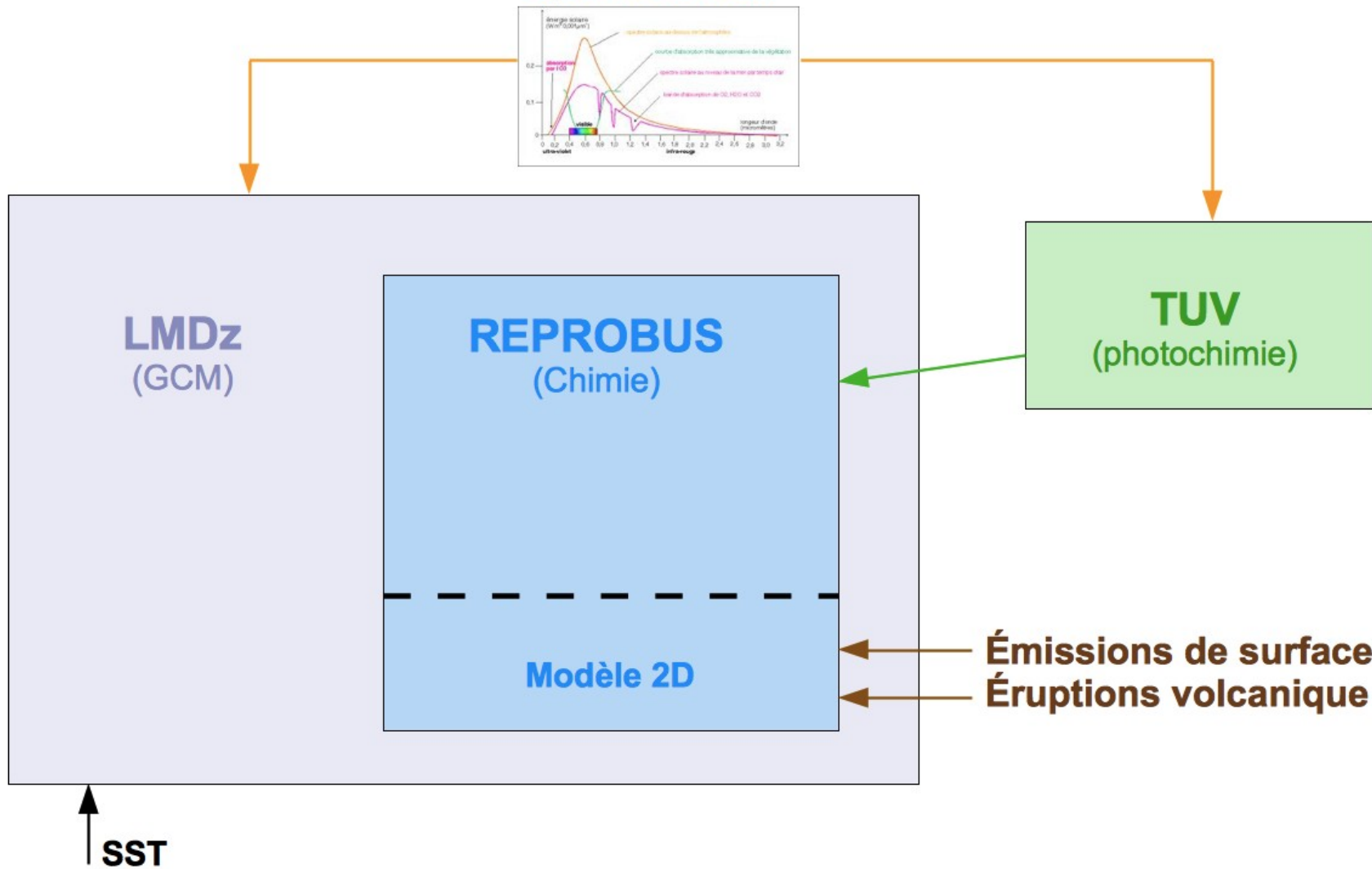


LMDz-Reprobus

- LMDz-Reprobus with full interactive chemistry
 - 50 levels (sol -> 0.07 hPa)
 - $2.5^\circ \times 3.75^\circ$ horizontal resolution
 - Radiative feedback O₃, CH₄, N₂O, H₂O, CFC11, CFC12
 - Full stratospheric chemistry including heterogeneous reactions and formation of polar stratospheric clouds
- Photolysis rates: computed off-line
 - TUV model (S. Madronich), improved version
 - High spectral resolution (up to 0.01 nm)
 - J values stored in 3-dimensional lookup table\$
- Impact of solar UV variability:
 - Radiative effect (O₂ and O₃ absorption)
 - Photochemistry effect (change in photo-dissociation coefficients)

CCMs

=> Prévision de l'évolution futur de l'ozone
Chemistry-Climate Model Validation
Activity for SPARC (CCMVal)
Spectre solaire

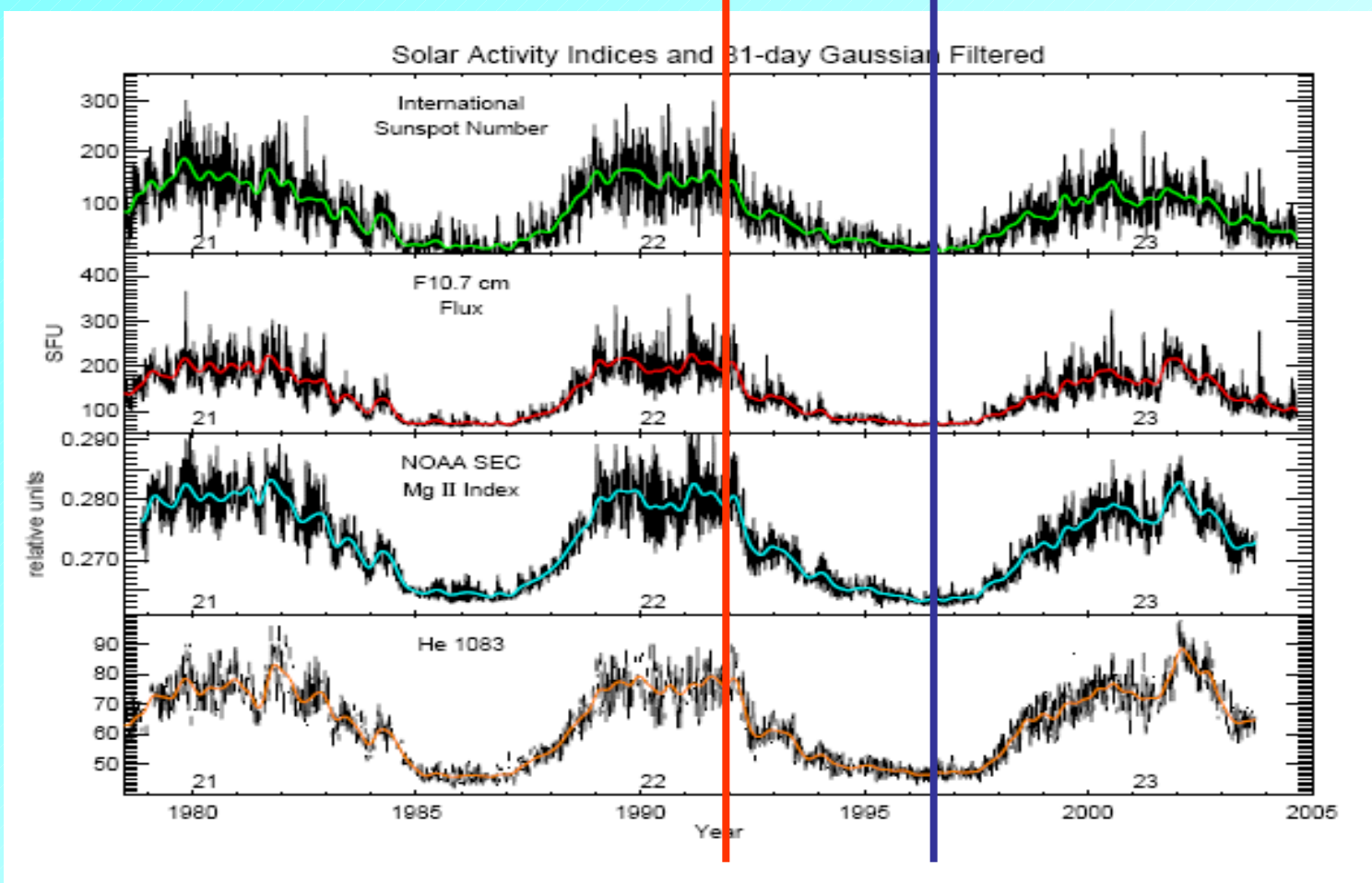


Experimental setup

- 2 simulations de 30 ans en conditions max et min solaire
- Solar fluxes: SUSIM/UARS (courtesy L. Floyd- Gérard Thuillier)
 - 2 February 1992 solar maximum
 - 10 october 1996 solar minimum

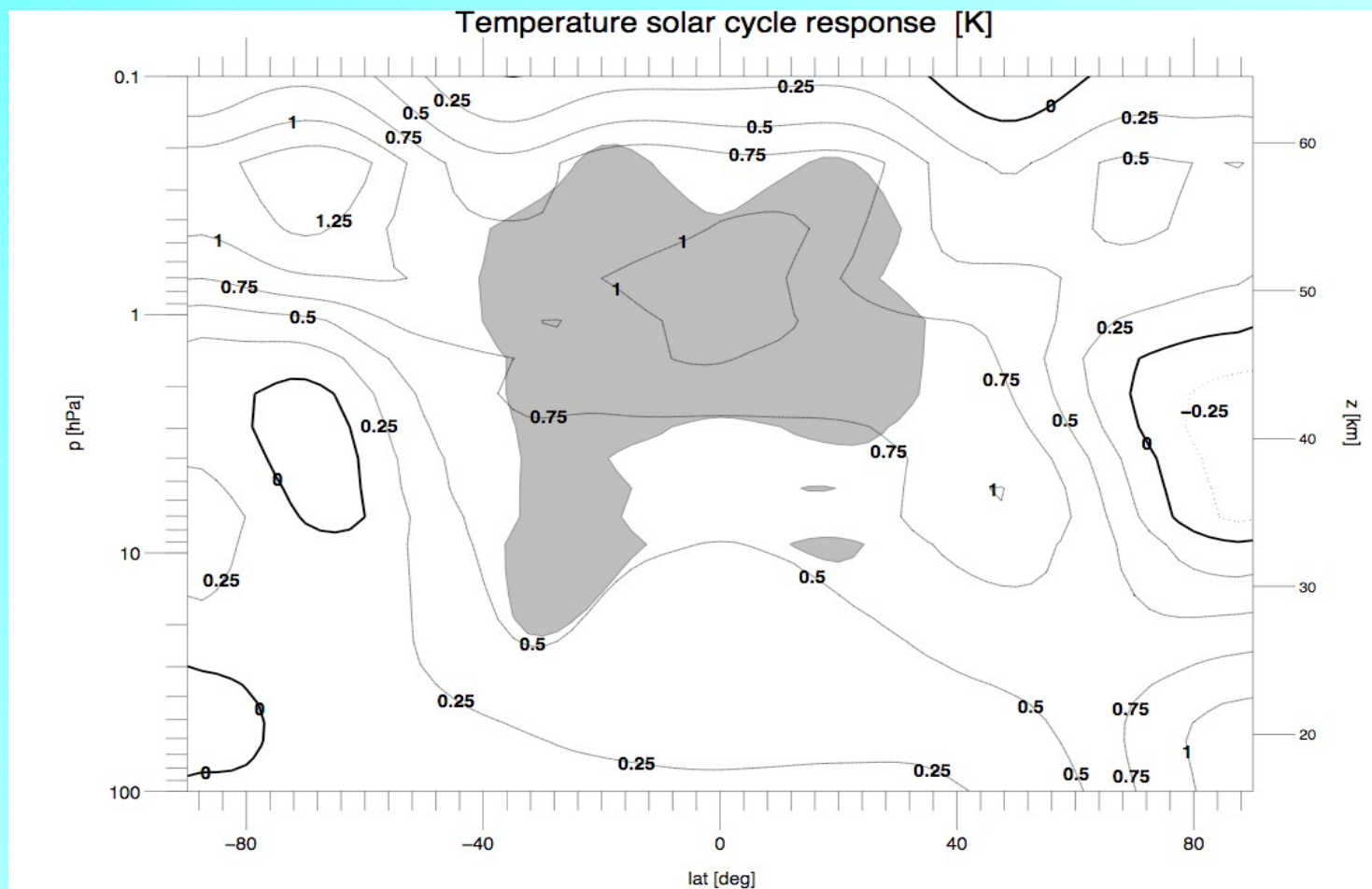
Experimental setup

- 2 Simulations de 30 ans en conditions max et min solaire
 - Solar fluxes: SUSIM/UARS (courtesy L. Floyd- Gérard Thuillier)
- 2 February 1992 solar maximum
- 10 october 1996 solar minimum



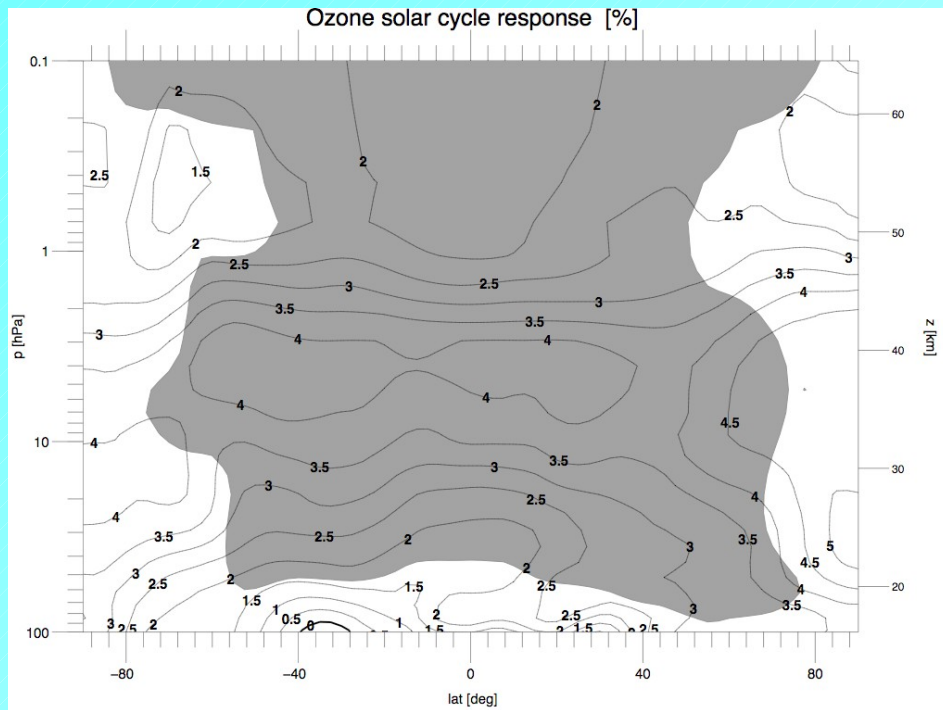
LMDz-Reprobust solar simulation

Reponse annuelle Température (K)

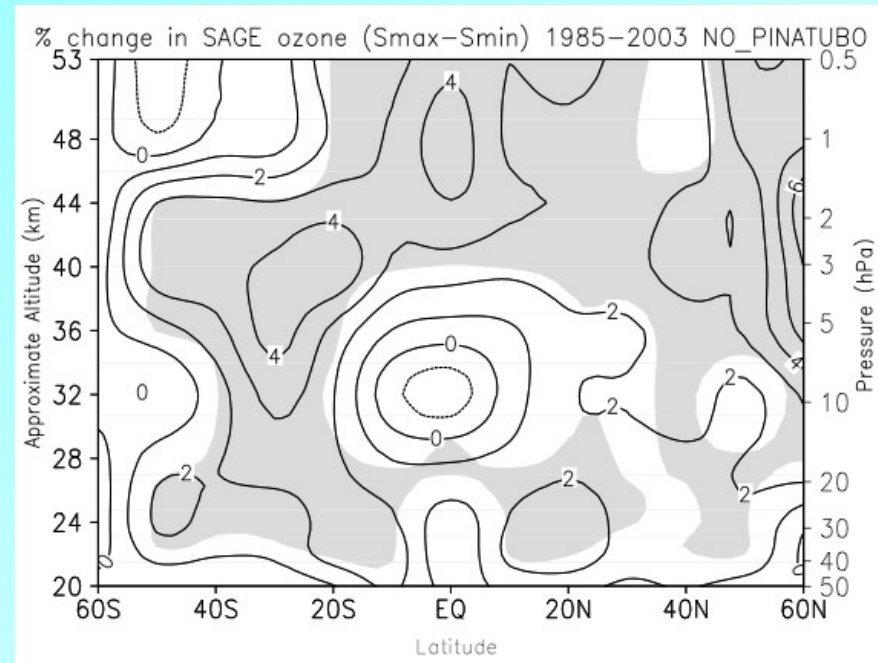


LMDz-Reprobus solar simulation

Reponse annuelle O3 (%)



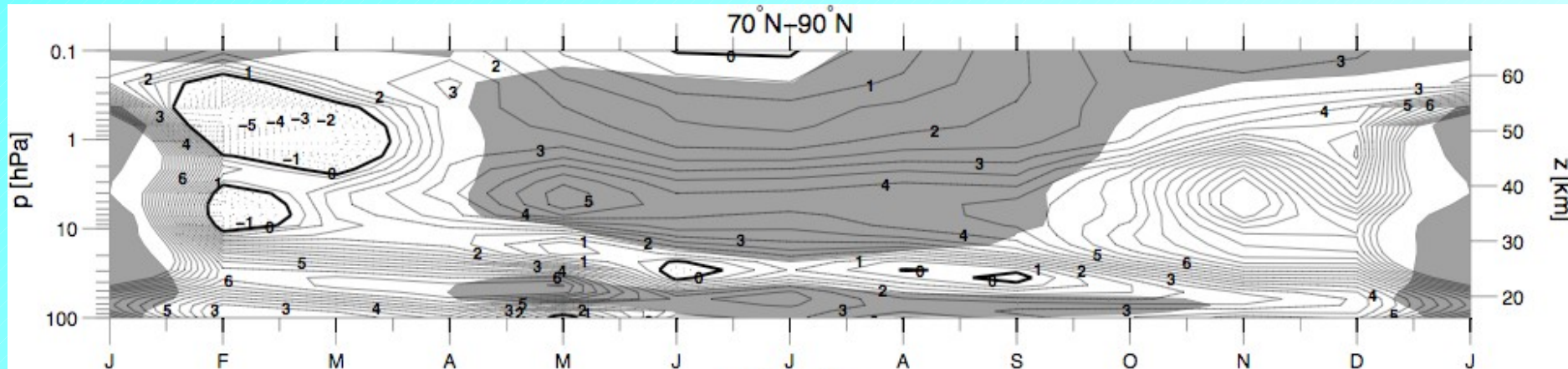
LMDz-Reprobus



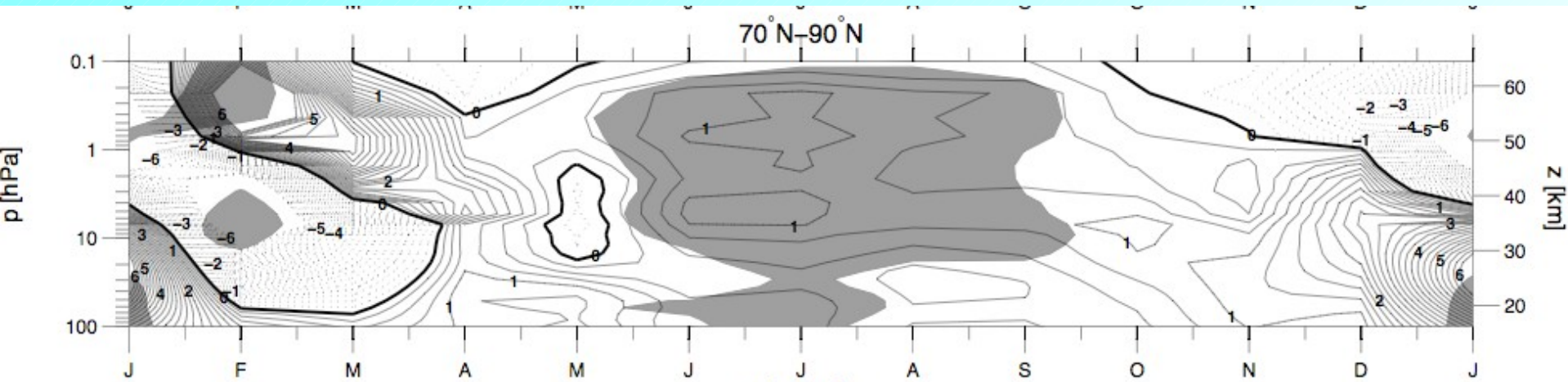
SAGE I II

Marchand et al., 2011, JASTP

Reponse saisonnière Ozone (%)

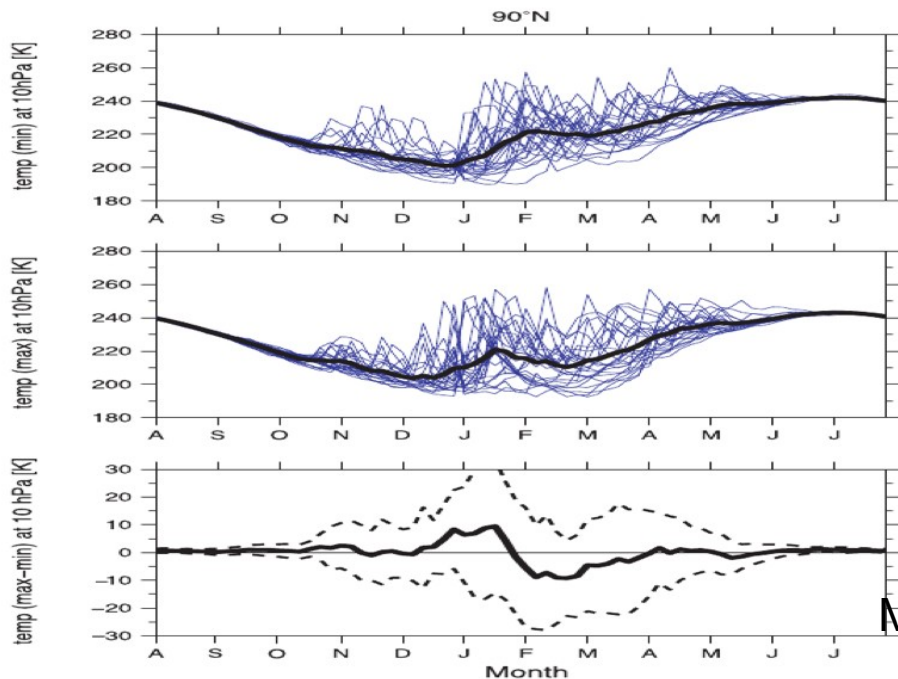


Reponse saisonnière Température (K)

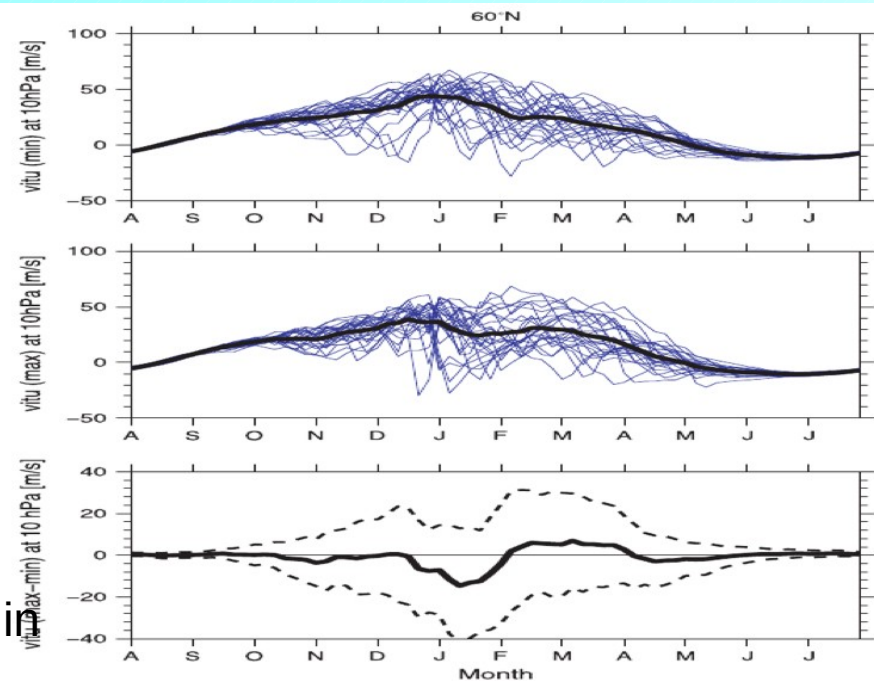


LMDz-Reprobus solar simulation:

Temperature evolution at 90°N

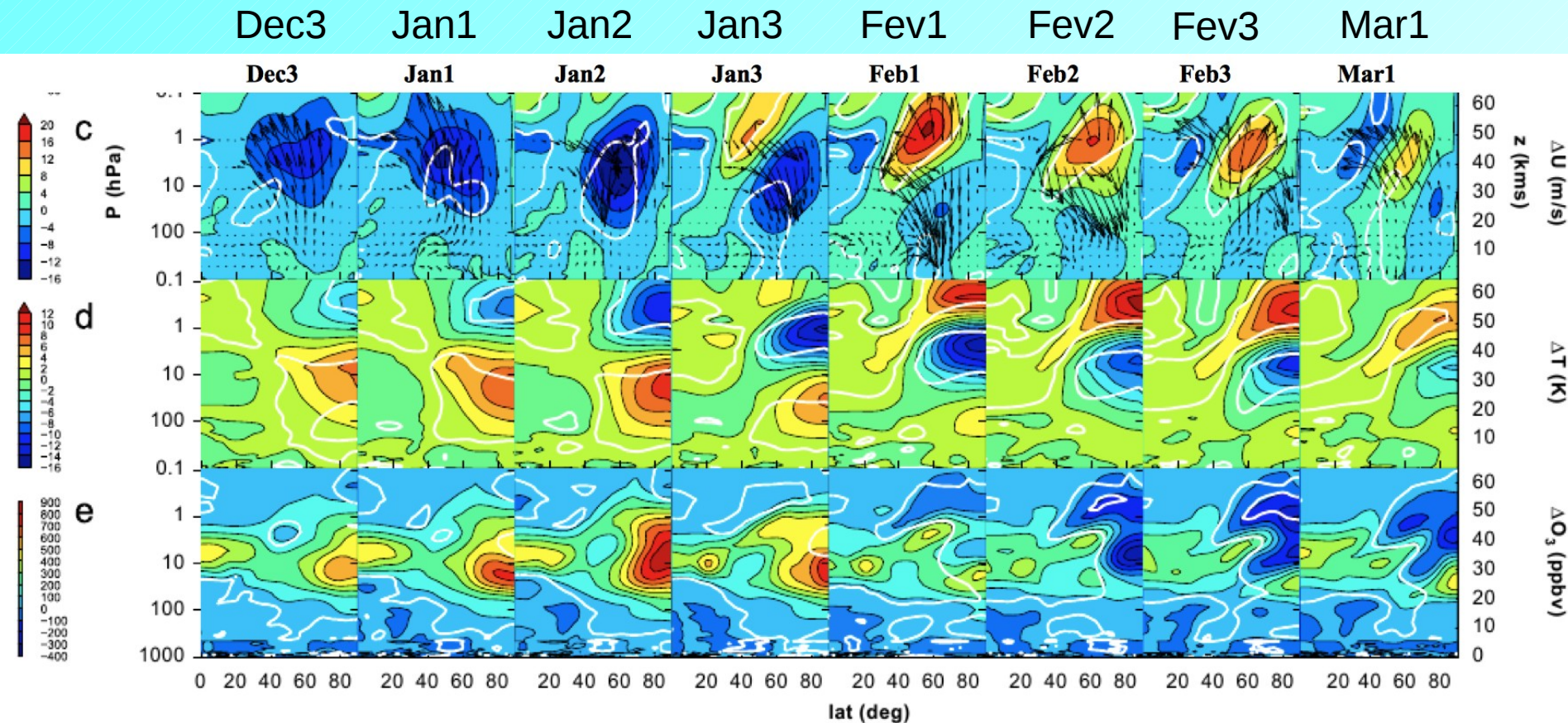


zonal wind evolution at 60°N



Différences dans le timing des SSW

LMDz-Reprobus solar simulation: Max-Min 10-day mean U and EPF, T and O₃ evolution



Conclusions

CCM LMDz-Reprobus / cycle solaire 11 ans

run min/max solaire

* réponse annuelle: bien expliquée

=> **réponse radiative + photochimique (haute stratosphère tropicale)**

3- 4% pour O₃ et 1K pour T

Bon accord avec les observations

• **Réponse saisonnière haute latitude HN : révèle l'importance d'une réponse dynamique : propagation des ondes planétaires et les réchauffements stratosphériques soudains associés et leurs timings au cours de l'hiver**

**Solar min: vortex plutôt stable en début d'hiver,
SSWs plus tard dans l'hiver**

Solar max: SSWs plus tôt dans l'hiver

Perspectives

- **Test et Analyse à partir du nouveau code radiatif**
(6 bandes) implémenté dans la nouvelle physique du GCM
LMDz
- Impact de la QBO
- Extension du modèle à la haute mésosphère, basse
thermosphère
- **Couplage ocean/LMDz-Reprobus**
Simulation du présent et du millénaire